

свою деятельность) за 2002 г. Ставка исполнения составляет 4,96 %.

Напомним, что контракт, определяющий верхнее граничное значение процентной ставки, называется кэпом. Кэп состоит из серии кэплетов, представляющих собой контракты со сроками погашения платежа в момент времени $T+\tau$ на выплату разницы между рыночным значением ставки R_T в момент времени T и значением ставки X в течение периода τ , основная сумма при этом составляет L . Главным условием является то, что данная разность должна быть положительна, то есть стоимость (*payoff*) кэплета в момент $T+\tau$ составляет [2]:

$$\max L[(R_T - X), 0].$$

На практике калибровка модели Халла-Уайта осуществляется путем выбора значений параметров, характеризующих поведение процентной ставки и волатильности таким образом, чтобы они соответствовали рыночным ценам опционов. Эмпирические значения параметра a принадлежат интервалу $[0, 0,1]$, значение же параметра σ принадлежат интервалу $[0,01, 0,03]$ [5]. При калибровке начальные значения параметров a и σ принимались равными 0,1 и 0,01 соответственно.

Параметры определяются при помощи метода наименьших квадратов таким образом, чтобы сум-

ма квадратов отклонений цен, полученных по модели Халла-Уайта, и рыночных цен опционов, была минимальной. В работе при выводе выражения применяли методы финансовой математики и теории опционов. Для проверки адекватности полученных результатов использовалась рыночная информация, основные расчеты и калибровка выражения были произведены с использованием пакета Mathematica.

В результате калибровки модели были получены следующие значения параметров: $\{a \rightarrow 0,108114, \sigma \rightarrow 0,0112018\}$. Зная параметры модели, можно рассчитать цену свопциона, дающего держателю право осуществлять платежи при ставке процента 6,2 % согласно условиям 3-летнего свопа, действие которого начинается через 5 лет. Волатильность процентной ставки свопа составляет 20 %. Платежи осуществляются раз в полугодие, основная сумма долга составляет 100 USD.

Применив (2), получим значение стоимости свопционного контракта – 2,0035. Рыночная стоимость данного свопционного контракта составляет 2,0038 (данные предоставлены компанией «Экономика-Томск»). Таким образом, полученное выражение позволяет оценить стоимость свопционного контракта, при этом отклонение модельной цены от соответствующей рыночной не превышает 1 %.

СПИСОК ЛИТЕРАТУРЫ

1. Black F., Scholes M. The pricing of options and Corporate Liabilities // Journal of political economy. – 1973. – № 6. – P. 637–659.
2. Willmott P. Derivatives: the theory and practice of financial engineering. – N.Y.: John Willey & Sons, 2000. – 742 p.
3. Hull J., White A. One-factor Interest-Rate Models and the Valuation of Interest-Rate Derivative Securities // The Journal of Financial and Quantitative analysis. – 1993. – № 2. – P. 235–240.
4. Hull J. Options, futures and other derivatives. – Toronto: University of Toronto, 2002. – 680 p.
5. Marshall J.F., Kapner K.P. Understanding swap finance. – OH: South-Western, 1990. – 250 p.
6. Keith R. An introduction to derivatives. – N.Y.: John Willey & Sons, 2000. – 198 p.

УДК 533.6.011

ИТЕРАЦИОННЫЙ МЕТОД РЕШЕНИЯ ОДНОМЕРНЫХ ДИВЕРГЕНТНЫХ УРАВНЕНИЙ ГАЗОВОЙ ДИНАМИКИ

В.М. Галкин

Томский политехнический университет
E-mail: vlg@tpu.ru

Предлагается итерационный метод решения дифференциальных уравнений, имеющих дивергентный вид и описывающих одномерное стационарное течение с переходом через скорость звука. Метод основан на использовании априорной информации о монотонном возрастании числа Маха вдоль сопла. Сравнение с другими методами проводилось на точном решении, а также при расчете двухфазного течения.

Введение

В [1] был предложен и далее в [2] уточнен итерационный метод решения одномерных стационарных уравнений газовой динамики, который за счет

использования априорной информации о монотонном изменении числа Маха внутри рассматриваемой области по скорости сходимости на порядок превосходит метод установления на основе схемы Маккормака [3] и имеет простой алгоритм.

В этом методе в качестве переменных используется полная энтальпия и энтропийная функция, а наличие в уравнениях правых частей позволяет учесть неравновесные процессы.

Однако, как отмечено в [4], методы, использующие уравнения, записанные в виде законов сохранения массы, импульса и энергии, имеют преимущества перед недивергентной формой записи. Кроме того, запись в дивергентной форме имеет более простой вид по сравнению с записью, используемой в [1]. Поэтому в данной статье рассматривается дальнейшее развитие метода [1]. Предлагаемый ниже подход, обладая простотой метода [1] и несколько уступая ему в скорости, использует дивергентную форму записи уравнений.

Математическая постановка задачи

Рассмотрим течение в сопле с переходом через скорость звука. Ставится задача нахождения параметров течения ρ , U , P , удовлетворяющих одномерным стационарным уравнениям для идеального совершенного газа при наличии неравновесных процессов. Уравнения записаны в дивергентном виде [5]:

$$\frac{dA\rho U}{dx} = 0, \quad \frac{dA(\rho U^2 + P)}{dx} = A'P + AC_1, \quad \frac{dA\rho UH}{dx} = AC_2, \quad (1)$$

где: $H = P\gamma/(\rho(\gamma-1)) + U^2/2$ – полная энтальпия; ρ , U , P , γ – плотность, скорость, давление и показатель адиабаты газа; A – площадь поперечного сечения сопла; x – продольная координата, принадлежащая рассматриваемой области $[x_a; x_b]$; C_1 и C_2 – известные, в общем случае нелинейно зависящие от параметров газа правые части уравнений движения и энергии, связанные с неравновесными процессами. Штрих обозначает производную по « x ». Все величины безразмерны. Переход к безразмерным переменным производился путем отнесения: x – к половине размера минимального сечения, A – к площади в минимальном сечении $\min(A)$, U – к критической скорости U^* , ρ – к критической плотности ρ^* , P – к произведению $\rho^* U^{*2}$, H – к квадрату критической скорости U^{*2} .

Полагается, что задана площадь сопла $A(x)$; на входе в сопло заданы граничные условия в виде $H = H(x_a)$, $S = S(x_a)$, где $S = P/\rho^\gamma$ – энтропийная функция; $C_1(x_a) = C_2(x_a) = 0$. В качестве априорной используется информация о том, что существует только одна внутренняя точка x_* , в которой число Маха $M = 1$; внутри рассматриваемой области число Маха монотонно возрастает от дозвуковой до сверхзвуковой величины и не равно нулю:

$$M(x) \neq 0, \quad x \in [x_a; x_b], \quad M(x_a) < 1, \quad M(x_b) > 1, \quad M(x_*) = 1, \quad x_* \in (x_a; x_b). \quad (2)$$

Вместо первого уравнения в (1) воспользуемся его интегралом $A\rho U = G$, где G – неизвестная константа. Введем обозначения:

$$R_1 = A(\rho U^2 + P), \quad R_2 = A\rho UH, \quad (3)$$

$$L = \frac{(\gamma R_1)^2}{2R_2(\gamma^2 - 1)}. \quad (4)$$

При этом второе и третье уравнения в (1) примут вид:

$$\frac{dR_1}{dx} = A'P + AC_1, \quad \frac{dR_2}{dx} = AC_2. \quad (5)$$

Обратный переход от R_1 , R_2 , G к переменным ρ , U , P производится по следующим формулам:

$$U = \frac{\gamma R_1}{G(\gamma + 1)} \pm \sqrt{\left(\frac{\gamma R_1}{G(\gamma + 1)}\right)^2 - 2\frac{(\gamma - 1)R_2}{G(\gamma + 1)}}, \quad \rho = \frac{G}{AU}, \quad P = \frac{R_1}{A} - \rho U^2, \quad (6)$$

где знак $+$ ($-$) соответствует сверхзвуковому (дозвуковому) течению.

Из условий (2) следует, что существует единственная точка $x = x_*$, в которой

$$(M^2 - 1)^2 = \min.$$

Очевидно, что при этом выполняются соотношения:

$$G = L(x_*), \quad x_* = \arg(\min\{L(x), x \in (x_a; x_b)\}), \quad (7)$$

$$\left.\frac{dL}{dx}\right|_{x_*} = 0. \quad (8)$$

Таким образом, если в рассматриваемой области известно распределение $R_1(x)$ и $R_2(x)$, то соотношения (4), (7) и (6) позволяют определить критическое сечение x_* , расход G и величины ρ , U , P .

Поскольку распределение $R_1(x)$ и $R_2(x)$ находится из решения задачи Коши для обыкновенных дифференциальных уравнений (5), то рассмотрим нахождение граничных условий для этих уравнений. Предположим, что расход G известен. Так как имеются $H(x_a)$, $S(x_a)$, $C_1(x_a) = 0$, $C_2(x_a) = 0$, то в сечении x_a можно найти U , ρ и P из соотношений:

$$\frac{\gamma}{(\gamma - 1)} \left(\frac{G}{A}\right)^{\gamma-1} S(x_a) + \frac{U^{\gamma+1}}{2} - H(x_a)U^{\gamma-1} = 0, \quad \rho = \frac{G}{AU}, \quad P = \rho^\gamma S(x_a). \quad (9)$$

Подставляя найденные значения в (3), получим граничные условия $R_1(x_a)$ и $R_2(x_a)$ для уравнений (5).

Численный алгоритм

С учетом выше изложенного для решения системы уравнений (1) предлагается следующий алгоритм:

1. Вводится расчетная сетка x_i и сеточные функции ρ_i , U_i , P_i , R_{1i} , R_{2i} , $i = 0, 1, \dots, k$, где k – число точек сетки. Обозначим через верхний индекс j номер итерации.
2. Задается $j = 1$, G и начальное приближение ρ_j , U_j , P_j , удовлетворяющее (2).

3. С использованием (3) находится $\max\{R_{i_j}, i=0, \dots, k\}$ и присваивается всем $R_{i_j}^{(1)}$.
4. Переход к следующей итерации: $j=j+1$. По значениям ρ_j, U_j, P_j вычисляются правые части для уравнений (5).
5. Из (9) находятся граничные условия $R_1(x_a)$ и $R_2(x_a)$ для уравнений (5).
6. Из задачи Коши для обыкновенных дифференциальных уравнений (5) находятся R_{1j} и R_{2j} ; используется схема Эйлера второго порядка точности.
7. Для ускорения сходимости с использованием R_{i_j} выполняется нижняя релаксация: $R_{i_j}^{(j)} = R_{i_j}^{(j-1)} + \omega(R_{i_j} - R_{i_j}^{(j-1)})$, где j – номер текущей итерации, $R_{i_j}^{(j-1)}$ – значение с предыдущей итерации, $R_{i_j}^{(j)}$ – будет использоваться на текущей итерации, R_{i_j} – вычислено на текущей итерации, ω – параметр релаксации, $0 < \omega < 1$.
8. Из (7) определяется x_* . Так как при использовании сеточных функций значение x_* будет принадлежать дискретному множеству $\{x_0, \dots, x_k\}$, то более точное x_* находится следующим образом. Пусть $L_1 = \min\{i=1, \dots, k\}$. Параболическая интерполяция функции L по трем точкам и (8) дает:
$$x_* = \frac{(x_j^2 - x_{j+1}^2)L_{j+1} + (x_{j+1}^2 - x_{j-1}^2)L_j + (x_{j-1}^2 - x_j^2)L_{j+1}}{2((x_j - x_{j+1})L_{j+1} + (x_{j+1} - x_{j-1})L_j + (x_{j-1} - x_j)L_{j+1})}$$
. Далее, используя x_* , уточняем G :
$$G = L_{j-1} \frac{(x_* - x_j)(x_* - x_{j+1})}{(x_{j-1} - x_j)(x_{j-1} - x_{j+1})} + L_j \frac{(x_* - x_{j-1})(x_* - x_j)}{(x_j - x_{j-1})(x_j - x_{j+1})} + L_{j+1} \frac{(x_* - x_{j+1})(x_* - x_j)}{(x_{j+1} - x_{j-1})(x_{j+1} - x_j)}$$
.
9. Из уравнений (6) вычисляются ρ_j, U_j, P_j ; если $x_j < x_*$, выбирается дозвуковое решение, в противном случае – сверхзвуковое.
10. При необходимости следующей итерации производится переход на пункт 4.

Сравнение с точным решением

Здесь и в следующем разделе рассматривалось течение в радиусно коническом сопле Лавала, которое с учетом обезразмеривания описывалось зависимостью $A(x) = y^2(x)$, где:

$$y(x) = \begin{cases} 3,125, & x \leq x_1, & x_1 = -0,5 - 3,25 \sin(0,785398) \\ 2,125 + \sqrt{1 - (x - x_1)^2}, & x \in (x_1; x_2], & x_2 = x_1 + \sin(0,785398) \\ 1,625 - x + 2x_3, & x \in (x_2; x_3], & x_3 = -0,625 \sin(0,785398) \\ 1,625 - \sqrt{0,625^2 - x^2}, & x \in (x_3; x_4], & x_4 = 0,625 \sin(0,261799) \\ 1,625 - 0,625 \cos(0,261799) + (x - x_4) \operatorname{tg}(0,261799), & x > x_4 \end{cases}$$

$x_a = -4, x_b = 2, \gamma = 1,4$, число точек сетки $k=40$, начальное поле параметров (пункт 2) находилось с использованием соотношения из [6]:

$$\frac{\min(A)}{A} = M \left(\frac{\gamma + 1}{2 + (\gamma - 1)M^2} \right)^{(\gamma+1)/(2(\gamma-1))}$$

Для получения точного решения в качестве правых частей использовались соотношения из [7]:

$$C_1 = \frac{H\rho}{H_0} \left(\frac{N'}{N} - \frac{A'}{A} - \frac{S'}{(1-\gamma)S} \right) + \frac{\rho^\gamma S'}{1-\gamma},$$

$$C_2 = \frac{UH\rho}{H_0} \left(\frac{N'}{N} - \frac{A'}{A} - \frac{S'}{(1-\gamma)S} \right),$$

здесь $N = A_a [b_2((x-x_a)/(x_a-x_a))^2 + 1 - b_2]$; $S = S_0 [b_1(x-x_a) + 1]$; $H = H_0 [(S_0/S)^\gamma N/A]^{1/h_0}$; $A_a = A(x_a)$; $b_2 = 0,5$; $b_1 = 0,2$; $H_0 = (\gamma+1)/(2(\gamma-1))$; $S_0 = 1/\gamma$. Критическое сечение задано: $x^* = 1$.

Использование указанных правых частей позволяет найти точное решение в виде:

$$M \left(\frac{\gamma + 1}{2 + (\gamma - 1)M^2} \right)^{H_0} = \frac{\min(N)}{N},$$

$$U = M \left(\frac{2(\gamma - 1)H}{2 + (\gamma - 1)M^2} \right)^{1/2}, \quad \rho = \frac{\min(N)}{AU}, \quad P = S\rho^\gamma.$$

На рис. 1 изображено положение точки x_* в процессе решения: 1 – предлагаемым методом, при $\omega=0,1$; 2 – итерационным методом [1]; 3 – методом установления с использованием явной схемы Макормака [3]. Для всех методов решение сходится к точному решению $x^*=1$. Предлагаемый метод, немного уступая итерационному методу [1], на порядок превосходит метод установления по скорости сходимости.

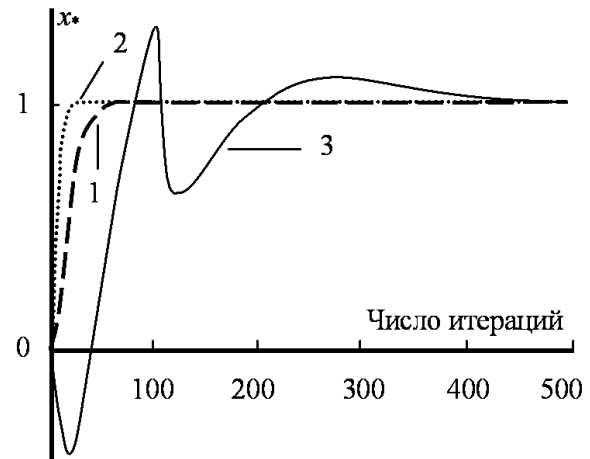


Рис. 1. Точное решение. Сходимость разных методов

На рис. 2 показано влияние параметра ω на скорость итерационного процесса в предложенном методе. Необходимо отметить, что при малых правых частях уравнений (1) можно использовать большее значение параметра ω , однако при этом увеличивается вероятность появления осцилляций. Для ускорения сходимости можно первоначальное значение ω изменять через несколько итераций. На рис. 2 номеру 1 соответствует $\omega=0,06$; 2 – $\omega=0,08$; $3 - \omega=0,1$; $4 - \omega = \begin{cases} 0,1; & j \leq 10 \\ 0,2; & j > 10 \end{cases}$. В последнем случае видно заметное ускорение сходимости.

На рис. 3 приведен профиль сопла и полученное распределение числа Маха, которое для всех рассматриваемых методов сошлось к точному решению, при этом $x^*=1$.

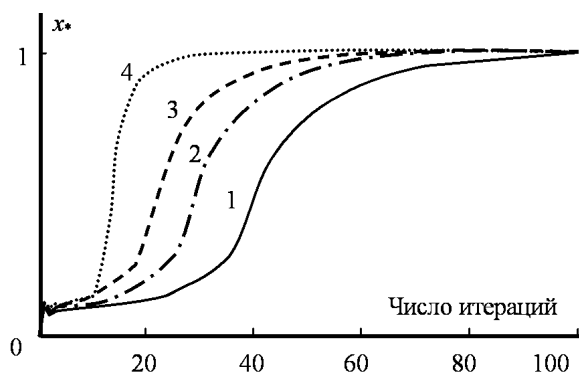


Рис. 2. Точное решение. Влияние ω на сходимость предложенного метода

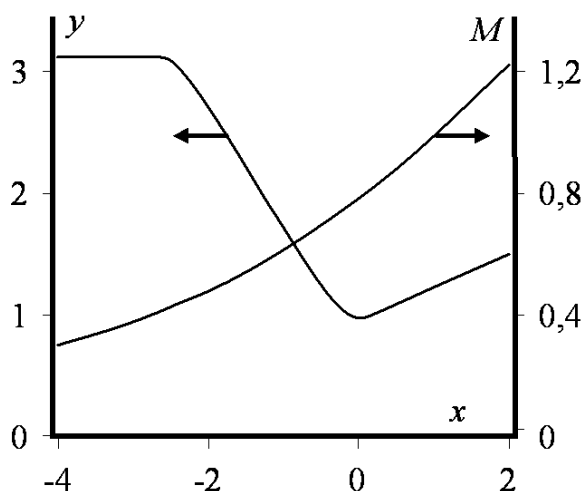


Рис. 3. Профиль сопла Лавала и распределение числа Маха вдоль него

Сравнение для двухфазного течения

С использованием упомянутых методов были проведены расчеты двухфазного неравновесного течения в сопле Лавала. Начальное поле параметров (пункт 2) находилось аналогично предыдущему разделу. Конденсация, испарение, коагуляция и дробление частиц второй фазы не рассматривались. Коэффициенты межфазного взаимодействия и особенности расчета параметров второй фазы приведены соответственно в [1] и [8]. Использовались следующие параметры: давление торможения $50 \cdot 10^5$ Па; температура торможения $T_0=3000$ К; динамическая

вязкость газа $5 \cdot 10^{-5}$ Па·с при T_0 ; весовая доля второй фазы 0,4; число Прандтля 0,7; теплоемкость вещества второй фазы 1420 Дж/(кг·К); молекулярная масса смеси 30 кг/кмоль; показатель адиабаты газа 1,1; вторая фаза монодисперсная, состоящая из Al_2O_3 ; диаметр частиц второй фазы 10^{-5} м.

Кроме этого в описанном выше алгоритме изменены пункты 3 и 7:

- пункт 3 – по формулам (3) вычисляются $R_{1i}^{(j)}$ и $R_{2i}^{(j)}$;
- пункт 7 – выполнялись релаксации: $R_{1i}^{(j)} = R_{1i}^{(j-1)} + \omega(R_{1i} - R_{1i}^{(j-1)})$ и $R_{2i}^{(j)} = R_{2i}^{(j-1)} + \omega(R_{2i} - R_{2i}^{(j-1)})$, а ω изменялось следующим образом:

$$\omega = \begin{cases} 0,9; & j \leq 5 \\ 0,45; & j > 5 \end{cases}$$

Полученные результаты продемонстрировали сходимость к решению $x_* \approx 0,137$, аналогичную представленной на рис. 1. Процесс сходимости показан в таблице, где для разных номеров итерации j приводятся разности x_* на двух соседних итерациях.

Таблица. Сходимость разных методов. Значения $abs(x_*^{(j-1)} - x_*^{(j)})$

Номер итерации	Предлагаемый метод	Метод [1]	Метод установления [3]
5	$3,2 \cdot 10^{-2}$	$3,3 \cdot 10^{-2}$	$1,4 \cdot 10^{-2}$
10	$1,3 \cdot 10^{-5}$	$5,7 \cdot 10^{-5}$	$8,1 \cdot 10^{-3}$
15	$7,2 \cdot 10^{-8}$	$8,5 \cdot 10^{-7}$	$5,9 \cdot 10^{-3}$
20	$3,3 \cdot 10^{-9}$	$1,1 \cdot 10^{-9}$	$2,9 \cdot 10^{-3}$
500	$2,6 \cdot 10^{-9}$	0	$5,7 \cdot 10^{-5}$
920	$1,2 \cdot 10^{-10}$	0	$9,4 \cdot 10^{-6}$

Видно, что если в методе установления с использованием явной схемы Макормака [3] до совпадения 6 цифр после запятой требовалось около 900 итераций, то в предлагаемом методе и в методе [1] было достаточно 15 итераций.

Заключение

Изложенный итерационный метод решения уравнений газовой динамики унаследовал простоту и скорость сходимости ранее предложенного метода, но в отличие от последнего использует уравнения в дивергентной форме. Это позволяет рекомендовать приводимый метод для расчета одномерных стационарных неравновесных газодинамических течений, имеющих единственный переход через скорость звука с монотонным возрастанием числа Маха вдоль рассматриваемой области.

СПИСОК ЛИТЕРАТУРЫ

1. Галкин В.М. Итерационный метод решения одномерных уравнений газовой динамики // Известия Томского политехнического университета. – 2002. – Т. 305. – № 8. – С. 130–136.
2. Галкин В.М. О методе решения одномерных стационарных уравнений газовой динамики. // Математическое моделирование. – 2003. – Т. 15. – № 11. – С. 30–36.
3. MacCormack R.W. The effect of viscosity in hyperbolicity impact cratering // AIAA Paper. – 1969. – № 354. – 17 p.
4. Роуч П. Вычислительная гидродинамика. – М.: Мир, 1980. – 616 с.

5. Годунов С.К., Забродин А.В., Иванов М.Я., Крайко А.Н., Прокопов Г.П. Численное решение многомерных задач газовой динамики. – М.: Наука, 1976. – 400 с.
6. Лойцянский Л.Г. Механика жидкости и газа. – М.: Наука, 1987. – 840 с.
7. Галкин В.М. Пример точного решения и тестовые расчеты для одномерных стационарных уравнений газовой динамики // Математическое моделирование. – 2005. – Т. 17. – № 1. – С. 3–9.
8. Глазунов А.А., Рычков А.Д. Исследование двухфазных неравновесных течений в осесимметричных соплах // Известия АН СССР. Механика жидкости и газа. – 1977. – № 6. – С. 86–91.